

Рецензент В.А.Пылаев

Карицис А.М., Климов Д.Н., Романов А.С.  
Механические колебания и волны в газе: Методические  
указания к лабораторной работе №8 по курсу общей  
физики / Под ред. Д.К.Мартынова. - М.: Изд-во МГТУ,  
1992. - 20 с., ил.

ISBN 5-7038-0857-X

В методических указаниях рассмотрены звуковые  
волны в воздухе, описана методика измерения скорости  
звуковых волн двумя способами.  
Для студентов I-го курса

ББК 22.213

ISBN 5-7038-0857-X

© МГТУ им.Н.Э.Баумана, 1992.

Цель работы - экспериментальное определение скорости звука  
в воздухе по параметрам стоячей звуковой волны и методом зонди-  
рования точек звуковой волны с заданной разностью фаз.

## ВВЕДЕНИЕ

Звуковая волна в газе является продольной и представляет  
собой распространяющуюся в нем последовательность чередующихся  
областей сжатия и разрежения газа. Звуковые волны, т.е. волны,  
частота которых входит в интервал от 16 до 20 000 Гц (эти три-  
значные значения являются условными и относятся к орденнообраз-  
ному слуховому восприятию), ощущаются ухом человека безболезнен-  
но, если уровень их интенсивности (и, соответственно, громкости)  
не превышает болевого порога, и не ощущаются совсем, если этот  
уровень ниже порога слышимости. Не воспринимаемые на слух волны  
с частотой менее 16 Гц называются инфразвуковыми, а с частотой  
более 20 000 Гц - ультразвуковыми.

Если обозначить давление и плотность газа при отсутствии в  
нем волны соответственно  $P_0$  и  $\rho_0$ , то при наличии волны дав-  
ление  $P$  и плотность  $\rho$  в каждой точке (т.е. в физической бесконеч-  
но малом объеме) газа будут определяться как

$$P = P_0 + P' \quad \text{и} \quad \rho = \rho_0 + \rho'$$

где изменение (пульсация) давления  $P' \ll P_0$  и изменение (пуль-  
сация) плотности  $\rho' \ll \rho_0$ .

Из уравнений движения газа [2] либо непосредственно из ана-  
лиза движения частиц газа в звуковой волне [1] следует уравнение,  
связывающее пульсации плотности  $\rho'$  и давления  $P'$ :

$$\frac{\partial^2 P'}{\partial t^2} = \frac{\partial^2 P'}{\partial x^2} + \frac{\partial^2 P'}{\partial y^2} + \frac{\partial^2 P'}{\partial z^2}.$$

или

$$\frac{\partial^2 P'}{\partial t^2} = \Delta P', \quad (1)$$

где  $\Delta \equiv \frac{\partial^2}{\partial x^2} + \frac{\partial^2}{\partial y^2} + \frac{\partial^2}{\partial z^2}$  - оператор Лапласа;  $t$  и  $x, y, z$  -  
время и декартовы координаты соответственно.

Из-за малости пульсаций  $P'$  и  $\rho'$  можно приближенно считать,  
что они пропорциональны:



$$p' = v^2 p' \quad (2)$$

где  $v^2 = \text{const}$  - коэффициент пропорциональности. Тогда уравнение (1) принимает вид

$$\frac{\partial^2 p'}{\partial t^2} = v^2 \Delta p' \quad (3)$$

Уравнение (3) называется волновым; постоянная  $v^2$  называется скоростью звука, введенной в квадрат.

Для вычисления скорости звука необходимо предположить, в каких условиях протекает процесс сжатия-разрежения в звуковой волне. Если, например, считать, что температура газа остается постоянной, то давление и плотность связаны уравнением состояния идеального газа

$$p' = \frac{R}{\mu} \rho' T \quad (4)$$

где  $T = \text{const}$  - температура газа;  $\mu$  - молярная масса газа (для воздуха  $\mu = 28,96$  кг/кмоль);  $R$  - универсальная газовая постоянная.

В этом случае  $v_s = \sqrt{RT/\mu}$  называется изотермической скоростью звука.

Если же считать процесс сжатия-разрежения в звуковой волне адиабатическим (для этого надо предположить, что обмена теплом между частями газа не происходит), то давление и плотность связаны соотношением (уравнение адиабаты)

$$p = \text{const} \cdot \rho^\gamma \quad (5)$$

где  $\gamma$  - постоянная адиабаты (для воздуха  $\gamma = 1,4$ ). Тогда из уравнения состояния (4) и уравнения адиабаты (5), с учетом предположения о малости пульсации давления и плотности, можно получить адиабатическую скорость звука  $v_s$ :

$$\frac{p'}{\rho'} \equiv v_s^2 = \gamma R T_0 / \mu \quad (6)$$

или

$$v_s = \sqrt{\gamma R T_0 / \mu} \quad (7)$$

где  $T_0$  - температура газа в отсутствие волны.

Как видно, адиабатическая и изотермическая скорости звука при фиксированной температуре связаны соотношением  $v_s = \sqrt{\gamma} v_s$ .

В силу малой теплопроводности воздуха в обычных условиях и быстрой протекания процессов сжатия-разрежения в звуковой волне скорость звука в воздухе должна быть близкой к адиабатической  $v_s$ . Непоосредственной проверкой можно убедиться, что функция

$$p' = \xi(t - x/v) \quad (8)$$

удовлетворяет уравнению (3); она называется плоской волной.

В частности, плоская волна может быть монохроматической, тогда функция имеет вид  $\xi = \xi_0 \cos[\omega(t - x/v)]$ , где  $\xi_0 = \text{const} > 0$ ,  $\omega = \text{const} > 0$ . Именно на измерении параметров плоской монохроматической волны основано измерение скорости звука в настоящей работе. Скорость (фазовая) звуковой волны  $v$ , длина волны  $\lambda$  и частота колебаний  $\nu$  связаны соотношением  $v = \lambda \nu$ .

#### А. ИЗМЕРЕНИЕ СКОРОСТИ ЗВУКА В ВОЗДУХЕ ПО ПАРАМЕТРАМ СТОЯЧЕЙ ЗВУКОВОЙ ВОЛНЫ

##### Теоретическая часть

Незатухающая монохроматическая волна, движущая в направлении  $x$ , описывается уравнением

$$\begin{aligned} \xi &= \xi_0 \cos[\omega(t - \frac{x}{v})] = \alpha \cos(\omega t - \frac{2\pi}{\lambda} x) = \\ &= \alpha \cos(\omega t - kx) \end{aligned} \quad (9)$$

где  $\alpha = \xi_0$  - амплитуда (максимальное смещение частицы от ее положения равновесия);  $\omega$  - круговая частота колебаний,  $t$  - текущее время,  $x$  - координата точки положения равновесия колеблющейся частицы,  $v$  - фазовая скорость волны,  $T$  - период колебаний,  $\lambda$  - длина волны,  $k = 2\pi/\lambda$  - волновое число.

В приведенной записи уравнение (9) не содержит начальной фазы колебаний, что вполне возможно при соответствующем выборе начал отсчета  $x$  и  $t$ .



При наложении двух встречных (бегущей и отраженной) незатухающих волн с одинаковыми амплитудой  $a$  и круговой частотой  $\omega$  :

$$\xi_1 = a \cos(\omega t - kx),$$

возникает стоячая волна, уравнение которой имеет вид

$$\xi = \xi_1 + \xi_2 = a \cos(\omega t - kx) + a \cos(\omega t + kx) =$$

$$= 2a \cos kx \cos \omega t = A \cos kx \cos \omega t, \quad (10)$$

Из соотношения (10) следует, что в отличие от бегущей волны в стоячей волне амплитуда  $|A \cos kx|$  есть функция координаты  $x$ .

В точках, где

$$kx = 2\pi \frac{x}{\lambda} = \pm n\pi \quad (n = 0, 1, 2, \dots), \quad (11)$$

амплитуда стоячей волны достигает максимального значения. Эти точки называются пучностями стоячей волны.

В точках, где

$$kx = 2\pi \frac{x}{\lambda} = \pm (n + \frac{1}{2})\pi \quad (n = 0, 1, 2, \dots), \quad (12)$$

амплитуда стоячей волны обращается в нуль. В этих точках колебания отсутствуют, и они называются узлами.

Из (11) и (12) следует, что расстояние ( $x_{n+1} - x_n$ ) между соседними пучностями (или соседними узлами) равно половине длины волны:

$$x_{n+1} - x_n = (n+1) \frac{\lambda}{2} - n \frac{\lambda}{2} = \frac{\lambda}{2}.$$

В настоящей работе предлагается измерить скорость звука  $\varphi$  по параметрам стоячей звуковой волны, возникающей в стояке воздуха длиной  $l$ , заключенном в трубу, закрытую с обоих концов.

В этом случае должно быть выполнено условие  $l = k \frac{\lambda}{2}$ , где  $\lambda$  - длина волны и  $k = 1, 2, 3, \dots$ . Очевидно, наименьшая разность длин двух стояков воздуха  $l_{\text{min}}$ , в которых возникает стоячая волна,

$$l_{\text{min}} = l_{k=1} - l_{k=0} = (k+1) \frac{\lambda}{2} - k \frac{\lambda}{2} = \frac{\lambda}{2}. \quad (13)$$

Согласно (12),  $l_{\text{min}}$  - это расстояние между соседними узлами. Таким образом, в данном случае  $\lambda = 2 l_{\text{min}}$ . С учетом соотношения  $\varphi = \lambda \nu$  получаем

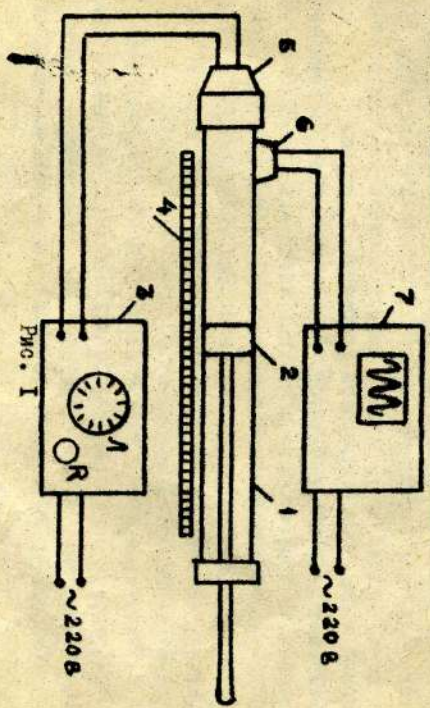
$$\varphi = 2\nu l_{\text{min}}. \quad (14)$$

Сопоставляя численное значение скорости звука в воздухе, которое будет найдено по формуле (14) при выполнении эксперимента, со значением, рассчитанным по формуле (7), можно заключить, что в первом приближении воздух можно принять за идеальный газ, а скорость звука в нем при обычных условиях считать адiabатической.

Экспериментальная часть

Экспериментальная установка

Установка для определения скорости звука в воздухе по параметрам стоячей звуковой волны (рис. 1) представляет собой широкую стеклянную трубу 1 с миллиметровой шкалой 4. Внутри трубы свободно поршнем, присоединен телефонный капсюль 5, обращенный мембраной внутрь трубы. Катюшки его электромагнита подключены к выходным клеммам звукового генератора 3, задающего звуковые колебания и имеющего для этой цели лимб частот  $\Delta$  и регулятор громкости  $R$ .





Возмущаемые мембраной телефонного капсюля 5 звуковые волны, пройдя через небольшое отверстие в основании трубы, отражаются от поршня. Перемещая поршень, можно добиться появления стоячей звуковой волны в трубе. В этом случае колебания воздуха в трубе резонируют на колебания мембраны капсюля 5. Этот резонанс обнаруживается с помощью осциллографа 7, на вход которого подается колебания от телефонного капсюля 6 (аналогичного капсюлю 5), укрепленного на боковой стенке трубы 1. В случае резонанса звуковых колебаний воздуха, зажатенного в трубу, т.е. в случае возникновения стоячей звуковой волны, на экране осциллографа 7 резко возрастает амплитуда колебаний светящегося следа электронного луча.

### Выполнение эксперимента

1. Включить звуковой генератор 3 в сеть и установить с помощью лимба A частоту 1000 Гц. Регулятор громкости R поставить в такое положение, при котором звук не будет слышен в аудитории, т.е. установить, по возможности, слабый звук.

Примечание. Большая громкость первоначального звука недопустима потому, что при нем в стоячей звуковой колебания основного тона (колебания 1-й гармоник) могут сложиться с появлением довольно сильных колебаний других гармоник, для которых расстояние между соседними узлами будет меньше (например, для 2-й гармоник — в два раза меньше, чем для 1-й).

2. Приблизить поршень 2 к телефонному капсюлю 5 и при слабом сигнале на экране осциллографа 7 медленно отодвигать поршень 2 до тех пор, пока сигнал на экране не станет максималным. В этом случае отражающая волна стенки поршня окажется в узле стоячей звуковой волны. Зафиксировать положение  $\ell_1$  поршня по миллиметровой шкале 4 трубы. Необходимо обратить внимание на следующее. В том, что при найденном положении  $\ell_1$  поршня частота 1000 Гц является частотой основного тона (частотой 1-й гармоник), а не частотой 2-й гармоник при основной частоте 500 Гц, можно убедиться, если временно установить лимб A на частоту 500 Гц и при этом резонанс не обнаружится.

3. Отодвинув при том же частоте 1000 Гц поршень дальше, увидят и отметить по шкале 4 его положение  $\ell_2$ , в котором снова возникнет максимум звука. Следует обратить внимание, что в этом случае частота 1000 Гц будет частотой 2-й гармоник, так как в

резонанс стоячей волны будут содержаться две половинки (см. рис. 2, на котором изображены несколько гармоник соответствующих частот колебаний воздушного столба при трех положениях поршня:  $\ell_1, \ell_2, \ell_3$ ). Теперь 1-я гармоника будет иметь частоту 500 Гц, в чем легко убедиться, временно установив лимб A на 500 Гц и обнаружив при этом резонанс. Если же при установленной частоте частоте 1000 Гц передвинуть поршень в следующий узел  $\ell_2$ , то 1000 Гц окажется частотой 3-й гармоник резонирующего столба воздуха (см. рис. 2). Очевидно, в этом положении поршня 1-я гармоника (основному тону) будет соответствовать частота 1000/3 Гц ≈ 333 Гц, а 2-я гармоника — частота 2 · (1000/3) Гц ≈ 666 Гц, что легко обнаружить с помощью лимба A и осциллографа 7.

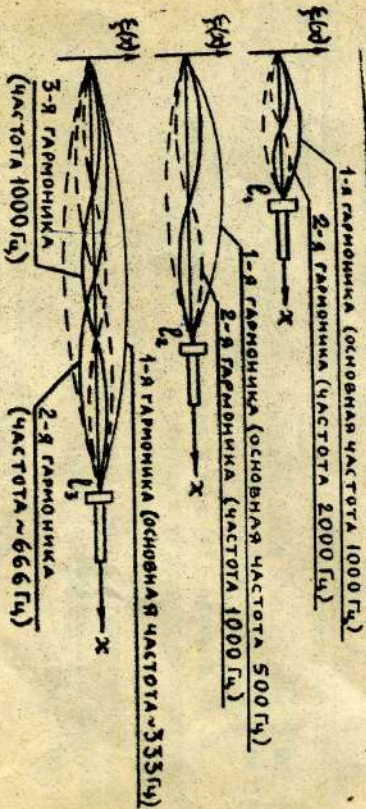


Рис. 2

4. Каждое из положений поршня  $\ell_1$  (см. п. 2) и  $\ell_2$  (см. п. 3) найти  $n$  раз (например, 10). При этом каждый раз увеличивать максимум звука надо только по изображению сигнала на экране осциллографа 7, не глядя на положение поршня по шкале 4. Значения  $\ell_1$  и  $\ell_2$  занести в табл. 1. Подсчитать и занести в табл. 1 значения  $\ell_1$  и  $\ell_2$  — средние арифметические значения соответствующих отсчетов; среднеквадратические погрешности  $\Delta S_1$  и  $\Delta S_2$ ; значения полученных доверительных интервалов  $\Delta \ell_1$  и  $\Delta \ell_2$ , полагая, что надежность (доверительная вероятность)  $\alpha = 0,68$ . Необходимый для этого расчета коэффициент Стьюдента  $t_\alpha(n)$  определяется по справочной таблице. Так, при  $n = 10$  и  $\alpha = 0,68$  коэффициент Стьюдента  $t_\alpha(n) = 1$ . Если окажется, что  $\Delta \ell_1$  и  $\Delta \ell_2$  меньше погрешности шкалы трубы  $\delta$ , равной 1 мм, то следует



приближенно принять  $\Delta \rho_1 = \Delta \rho_2 = \delta = \pm 1 \text{ мм}$ .

Таблица I

$l$	$\rho_{1l}$ , мм	$\Delta \rho_{1l}$ , мм	$(\Delta \rho_{1l})^2$ , мм <sup>2</sup>	$\rho_{2l}$ , мм	$\Delta \rho_{2l}$ , мм	$(\Delta \rho_{2l})^2$ , мм <sup>2</sup>
1						
2						
3						
...						
$l_1$	$\Delta \rho_{l_1}$	$\Delta \rho_{l_1} = t_{\alpha}(\rho) \Delta \rho_{l_1}$	$\rho_2$	$\Delta \rho_{l_2}$	$\Delta \rho_{l_2} = t_{\alpha}(\rho) \Delta \rho_{l_2}$	

5. Вычислить значения  $\rho_{\text{min}} = |\rho_2 - \rho_1|$  и  $\Delta \rho_{\text{min}} = \sqrt{(\Delta \rho_{l_2})^2 + (\Delta \rho_{l_1})^2}$ .  
 В том случае, когда можно приближенно принять  $\Delta \rho = \Delta \rho_2 = \delta = \pm 1 \text{ мм}$  ( $l$  мм - цена деления шкалы трубки), имеем  $\Delta \rho_{\text{min}} = \sqrt{2}$  мм.

6. По формуле (14) найти значение скорости звука  $\nu$ .  
 Окончательный результат записать в виде  $\nu \pm \Delta \nu$ , где  $\Delta \nu$  - абсолютная погрешность измерения скорости звука.

7. Рассчитать погрешность  $\Delta \nu$ . Предварительно необходимо подсчитать относительную погрешность  $\epsilon$  скорости, найденной по формуле (14):

$$\epsilon = \frac{\Delta \nu}{\nu} = \sqrt{\left(\frac{\Delta \rho_{\text{min}}}{\rho_{\text{min}}}\right)^2 + \left(\frac{\Delta \nu}{\nu}\right)^2}$$

Первый член под корнем вычисляется по данным, полученным в соответствии с п. 5, второй берется по паспорту звукового генератора (для генератора ГЗ-33  $\Delta \nu / \nu = \pm 0,02$ ). По  $\epsilon$  можно оценить и значение погрешности  $\Delta \nu$ :  $\Delta \nu = \epsilon \nu$ .

Примечание. Выполнение эксперимента можно проводить и при большей частоте, например, при 1200 или 1500 Гц. Задать частоту, меньшую 1000 Гц, не рекомендуется, так как для трубы небольшой длины при малой частоте длина звуковой может оказаться сравнимой с длиной трубы или больше нее.

Контрольные вопросы

1. От каких параметров зависит скорость распространения звуковой волны в идеальном газе?

2. При какой частоте колебаний возникает стечен звуковой волны с наименьшим числом узлов и пучностей (основной тон) в трубе длиной  $l$ , закрытой с обоих концов и заполненной воздухом? Скорость звука в воздухе  $\nu$ .  
 Как изменится ответ на вопрос, если труба будет закрыта только с одного конца?

3. На рис. 2 показано, какими должны быть в положениях поршня  $\rho_1$  и  $\rho_2$  резонансные частоты, меньшие 1000 Гц. На какие, превышающие 1000 Гц, частоты будет резонировать воздух в трубе при положении поршня  $\rho_1, \rho_2, \rho_3$ ? Назовите по две такие частоты для каждого случая. Как надо изменять длину воздушного столба (увеличивать или уменьшать и во сколько раз) при проверке на резонанс этих частот?

4. Столб воздуха в закрытой с обоих концов трубе резонирует на частоту 1200 Гц. Этот столб воздуха может резонировать и на меньшие частоты, но только на две. Будет ли он резонировать на частоты 1600 и 1680 Гц?

5. Как изменится ответ на 4-й вопрос, если труба будет закрыта только с одного конца? Должны ли в рассматриваемых случаях (см. вопросы 4 и 5) отличаться длины труб? Верно ли утверждение, что длина открытой с одного конца трубы должна быть при этом короче длины  $l$  закрытой с обоих концов трубы на  $l/6$  (или длиннее на  $l/6$ )?

**В. ОПРЕДЕЛЕНИЕ СКОРОСТИ ЗВУКА В ВОЗДУХЕ МЕТОДОМ СЛОЖЕНИЯ КОЛЕБАНИЙ**

Теоретическая часть

Если материальная точка совершает гармонические колебания вдоль прямой, то ее отклонение от положения равновесия описывается ступ соотнесением

$$\xi = \xi_0 \sin(\omega t + \varphi_0),$$

где  $\xi_0$  - амплитуда колебаний;  $\omega$  - круговая частота колебаний;  $\varphi_0$  - начальная фаза.



Если точка одновременно совершает гармонические колебания в двух взаимно перпендикулярных направлениях  $x$  и  $y$ , то результирующая траектория точки (фигура Лиссажу) будет зависеть от амплитуд, частот и начальных фаз колебаний.

Возьмем уравнения колебания точки для случая, когда колебания вдоль осей  $x$  и  $y$  происходят с одинаковой частотой (разность фаз определяется углом  $\varphi_0$ ):

$$x = z_0 \sin(\omega t + \varphi_0),$$

$$y = y_0 \sin \omega t.$$

Исключая из этих уравнений время  $t$ , можно после несложных преобразований получить уравнение траектории колеблющейся точки в виде

$$\left(\frac{x}{z_0}\right)^2 + \left(\frac{y}{y_0}\right)^2 - \frac{2xy}{z_0 y_0} \cos \varphi_0 = \sin^2 \varphi_0.$$

При разности фаз  $\Delta\varphi = \varphi_0 = (2m+1)\frac{\pi}{2}$ , где  $m = 0, \pm 1, \pm 2, \dots$ , имеем уравнение эллипса

$$\left(\frac{x}{z_0}\right)^2 + \left(\frac{y}{y_0}\right)^2 = 1.$$

В частном случае при  $|z_0| = |y_0|$  имеем уравнение окружности радиуса  $Z_0$ :  $x^2 + y^2 = Z_0^2$ .

Если разность фаз примет значения  $0, \pi, 2\pi, \dots$ , будем иметь уравнения типа

$$\left(\frac{x}{z_0} \pm \frac{y}{y_0}\right)^2 = 0,$$

откуда  $y = \pm \frac{y_0}{z_0} x$ , т.е. траектория вырождается в прямую линию.

Сложные взаимно перпендикулярных колебаний можно наблюдать на экране электронного осциллографа. В электронно-лучевой трубке осциллограф создает фокусированный пучок электронов, который, достигая экрана, оставляет на нем светящийся след. На пути электронного луча располагаются две взаимно перпендикулярные пары параллельных пластин (рис. 3), на которые может быть подано электрическое напряжение

$$U_x = U_{0x} \sin(\omega t + \varphi_0); \quad U_y = U_{0y} \sin \omega t.$$

Подавляя в электрическое поле электронный луч испытывает воздействие двух взаимно перпендикулярных электрических полей, и в результате на экране выводится фигура Лиссажу.

При изменении разности фаз  $\Delta\varphi$  от нуля до  $2\pi$  (для указанных  $U_x$  и  $U_y$ )  $\Delta\varphi = \varphi_0$  мы можем наблюдать следующие ступени изменения фигур Лиссажу на экране (рис. 4).

$\Delta\varphi$ , рад.	0	$\frac{\pi}{2}$	$\frac{\pi}{2}$	$\frac{2}{3}\pi$	$\pi$	$\frac{1}{3}\pi$	$\frac{2}{2}\pi$	$\frac{3}{2}\pi$	$\frac{5}{2}\pi$	$2\pi$	$\frac{7}{2}\pi$	$\frac{5}{2}\pi$
Фигура Лиссажу	✓	○	○	○	○	○	○	○	○	○	○	○

Рис. 4

В предлагаемом эксперименте колебания от звукового генератора ЗГ подаются на динамик Д и на горизонтально отклоняющие пластины электронно-лучевой трубки осциллографа ЭО (рис. 5). К вертикально отклоняющим пластинам подключен через усилитель низкой частоты УНЧ микрофон М. Таким образом, электронный луч осциллографа принимает участие во взаимно перпендикулярных колебаниях одинаковой частоты. Разность фаз этих колебаний зависит от расстояния между динамиком Д (источником звука) и микрофоном М (приемником звука).

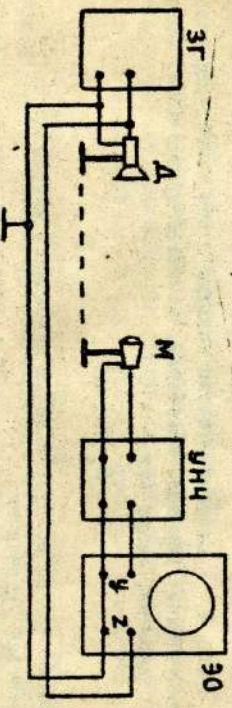


Рис. 5

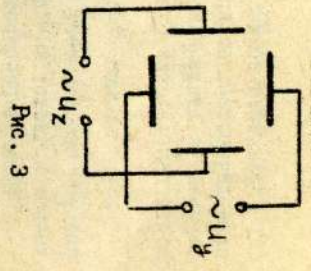


Рис. 3



Уравнение волны отличается от уравнения колебаний двойной периодичностью: по времени и по пространству. Если волна распространяется вдоль некоторого направления  $x$ , то для любой точки этого направления будет справедливо уравнение

$$\xi = \xi_0 \sin(\omega t - kx),$$

которое представляет собой уравнение волны. Здесь  $k = 2\pi/\lambda$  - волновое число;  $\lambda$  - длина волны.

Продифференцировав дважды уравнение волны по времени  $t$  (считая координату  $x$  неизменной) и по координате  $x$  (считая неизменным время  $t$ ), получим

$$\frac{\partial^2 \xi}{\partial t^2} = -\xi_0 \omega^2 \sin(\omega t - kx),$$

$$\frac{\partial^2 \xi}{\partial x^2} = -\xi_0 k^2 \sin(\omega t - kx).$$

Отсюда следует

$$\frac{\partial^2 \xi}{\partial x^2} = \frac{k^2}{\omega^2} \cdot \frac{\partial^2 \xi}{\partial t^2}.$$

Учитывая, что  $\omega = 2\pi/T$ ,  $k = 2\pi/\lambda$  и скорость волны  $v = \lambda/T$ , получим дифференциальное уравнение волны (новое уравнение), аналогичное уравнению (3):

$$\frac{\partial^2 \xi}{\partial x^2} = \frac{1}{v^2} \frac{\partial^2 \xi}{\partial t^2}.$$

Пусть  $\xi$  - смещение частиц воздуха в том месте, где находится динамик. Уравнение колебаний, соответствующее этому положению динамика, имеет вид

$$\xi = \xi_0 \sin \omega t.$$

Колебания частиц воздуха в месте нахождения микрофона будут описываться уравнением

$$\xi = \xi_0 \sin(\omega t - \frac{2\pi}{\lambda} x),$$

где  $x$  - расстояние между динамиком и микрофоном.

Перемещение микрофона на расстояние, равное длине волны  $x = \lambda$ , равносильно изменению фазы на  $2\pi$ :

$$\xi = \xi_0 \sin[\omega t - \frac{2\pi}{\lambda}(x + \lambda)] = \xi_0 \sin[\omega t - \frac{2\pi x}{\lambda} - 2\pi].$$

Поскольку звуковые колебания от микрофона подаются через УНЧ на вертикальные отклоняющие пластины осциллографа ЭО, разность фаз  $\Delta\varphi$  взаимно перпендикулярных колебаний (по осям  $x$  и  $y$ ) осветится точки на экране осциллографа изменится также на  $2\pi$ . Следовательно, перемещая микрофон и наблюдая за изменением фигуры Лиссажу при изменении разности фаз  $\Delta\varphi$  на  $2\pi$  (см. рис. 4), можно экспериментально определить длину генерируемой динамиком звуковой волны  $\lambda$ . Скорость звука определяется формулой  $v = \lambda \nu$ , где  $\nu$  - частота колебаний.

#### Экспериментальная часть

##### Экспериментальная установка

Установка состоит из звукового генератора ЭГ электронного осциллографа ЭО с усилителем УНЧ, между которыми могут перемещаться вдоль осей динамика Д и микрофон М (см. рис. 5).

##### Выполнение эксперимента

1. Включить осциллограф ЭО и вращением ручек "Перемещение X", "Перемещение Y" получить световое пятно в центре экрана.
2. Включить звуковой генератор ЭГ. Выходное напряжение должно соответствовать частоте 2000 Гц.
3. Включить усилитель низкой частоты УНЧ.
4. Передвигая микрофон М вблизи динамика Д, добитесь появления на экране осциллографа фигуры Лиссажу, соответствующей разности фаз колебаний  $\Delta\varphi = 0$  (см. рис. 4). Отметить положение микрофона  $\xi_1$ .
5. Наблюдая изменение фигуры Лиссажу, передвинуть микрофон в положение  $\xi_2$ , которому соответствует изменение разности фаз на  $2\pi$ . При этом напряжение от УНЧ, подаваемое на осциллограф, в случае необходимости следует регулировать.



Примечание к пп. 4 и 5. Если наблюдаемая вначале фигура Лиссажу соответствует разности фаз  $\Delta\varphi \neq 0, \pi, 2\pi, 3\pi, \dots$ , то следуем такой же наблюдаемой фигуре при перемещении микрофона и, соответственно, увеличении разности фаз на  $2\pi$  регистрируется не при первом ее появлении (после начала-ного), а при втором (см. рис. 4, где видно, что увеличению разности фаз на  $2\pi$  соответствуют изменения фигуры, например, от  $\Delta\varphi = \pi/3$  до  $\Delta\varphi = \pi$ , а не от  $\Delta\varphi = \pi/3$  до  $\Delta\varphi = 5\pi/3$ ).

6. Результаты занести в табл. 2.

Таблица 2

$i$	$\rho_{i1}$ , мм	$\Delta\rho_{i1}$ , мм	$(\Delta\rho_{i1})^2$ , мм <sup>2</sup>	$\rho_{i2}$ , мм	$\Delta\rho_{i2}$ , мм	$(\Delta\rho_{i2})^2$ , мм <sup>2</sup>
1						
2						
3						
...						
$\bar{\rho}_1$	$\Delta S_{\rho_1}$	$\Delta\rho_1 = t_{\alpha}(\rho) \Delta S_{\rho_1}$	$\bar{\rho}_2$	$\Delta S_{\rho_2}$	$\Delta\rho_2 = t_{\alpha}(\rho) \Delta S_{\rho_2}$	

7. Выключить звуковой генератор ЭТ, усилитель низкой частоты УНЧ и осциллограф ЭО.

8. В табл. 2 внести также средние арифметические значения отсчетов  $\bar{\rho}_1$  и  $\bar{\rho}_2$ , среднеквадратические погрешности  $\Delta S_{\rho_1}$  и  $\Delta S_{\rho_2}$ , значения полуширины доверительных интервалов  $\Delta\rho_1$  и  $\Delta\rho_2$ , полагая, что надежность (доверительная вероятность)  $\alpha = 0,68$ . Необходимый для этого расчета коэффициент Стьюдента  $t_{\alpha}(\rho)$  определяется по справочной таблице. Так, при  $\rho = 10$  и  $\alpha = 0,68$  коэффициент Стьюдента  $t_{\alpha}(\rho) = 1$ . Если окажется, что  $\Delta\rho_1$  и  $\Delta\rho_2$  меньше погрешности  $\delta$  шкалы линейки, которой измеряют расстояние, то приближенно можно принять  $\Delta\rho_1 = \Delta\rho_2 = \delta = \pm 1$  мм (1 мм — цена деления шкалы линейки).

9. Вычислить значения

$$\lambda = |\bar{\rho}_2 - \bar{\rho}_1| \quad \text{и} \quad \Delta\lambda = \sqrt{(\Delta\rho_2)^2 + (\Delta\rho_1)^2}.$$

В том случае, когда можно принять  $\Delta\rho_1 = \Delta\rho_2 = \delta = \pm 1$  мм, получаем  $\Delta\lambda = \pm \sqrt{2}$  мм.

10. Рассчитать скорость звука по формуле  $v = \lambda\nu$  и относительную погрешность ее измерения  $\epsilon$  по формуле

$$\epsilon = \frac{\Delta v}{v} \sqrt{\left(\frac{\Delta\lambda}{\lambda}\right)^2 + \left(\frac{\Delta\nu}{\nu}\right)^2}.$$

По паспортным данным звукового генератора предельная относительная погрешность генерируемой им частоты составляет 0,02. Поэтому можно принять  $\Delta\nu / \nu = 0,02$ . Значение  $\Delta v$  можно найти по формуле  $\Delta v = \epsilon v$ .

11. Окончательный результат записать в виде  $v \pm \Delta v$  и указать относительную погрешность  $\frac{\Delta v}{v}$ . 100%.

12. Изменить рекомендуемую в п.2 частоту (например, задать частоту 2500 или 3000 Гц) и повторить для нее все измерения.

#### Контрольные вопросы

1. Чем отличаются уравнение колебаний и уравнение волны?
2. На какое расстояние (в долях длины звуковой волны  $\lambda$ ) надо передвинуть микрофон, чтобы разность фаз колебаний, осциллирующих фигуру Лиссажу на экране осциллографа, изменилась от  $\pi/2$  до  $3\pi/2$ ?
3. В каком случае на экране осциллографа наблюдается прямая, эллипс, окружность? От чего зависит наклон прямой, эллипса?



ЛИТЕРАТУРА

1. Савельев И.В. Курс общей физики: В 3 т. Т.2. М.: Наука, 1988. 496 с.
2. Ландау Л.Д., Лифшиц Е.М. Теоретическая физика: В 10 т. Т.6. Гидродинамика. М.: Наука, 1986. 736 с.
3. Детлеф А.А., Яворский Б.М. Курс физики. М.: Высш.шк., 1989. 607 с.
4. Кириллов А.М., Климов Л.Н., Расторгуева А.В. Изучение механических колебаний и волн. М.: МВТУ, 1983. 16 с.
5. Зеленица Н.Ф., Романов А.С., Соколова И.Н. Определение скорости звука методом сложения колебаний. М.: МВТУ, 1980. 6 с.

СОДЕРЖАНИЕ

Введение . . . . .	3
А. Измерение скорости звука в воздухе по параметрам стоячей звуковой волны . . . . .	5
Теоретическая часть . . . . .	5
Экспериментальная часть . . . . .	7
Контрольные вопросы . . . . .	11
Б. Определение скорости звука в воздухе методом сложения колебаний . . . . .	11
Теоретическая часть . . . . .	11
Экспериментальная часть . . . . .	15
Контрольные вопросы . . . . .	17
Литература . . . . .	18